

C7790

Počítačová chemie a molekulové modelování I

C7800 Počítačová chemie a molekulové modelování I - cvičení

2. Výpočetní chemie vs experiment

Petr Kulhánek

kulhanek@chemi.muni.cz

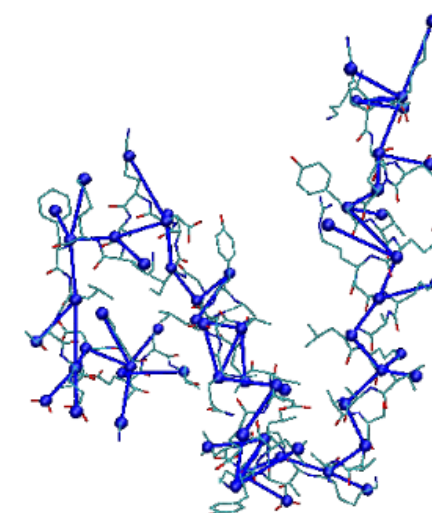
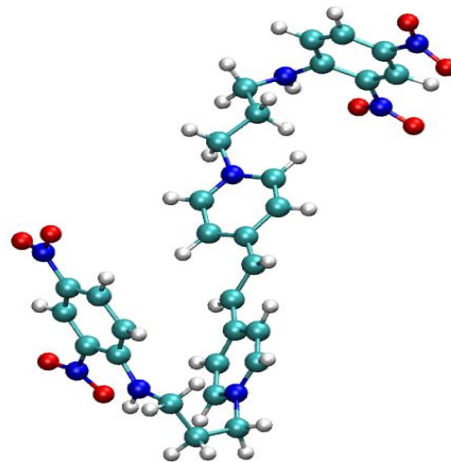
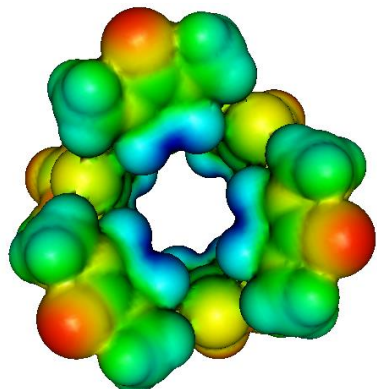
Národní centrum pro výzkum biomolekul, Přírodovědecká fakulta
Masarykova univerzita, Kotlářská 2, CZ-61137 Brno

Výpočetní chemie

vs

Experiment

Přehled metod výpočetní chemie



Kvantová mechanika

Molekulová mechanika

Coarse-grained mechanika

atomové rozlišení

bead resolution

reaktivita

konformační pohyby

pohyb domén, folding

až 1'000 atomů *

až 1'000'000 atomů *

až 1'000'000 beads *

až 100 ps *

až 1 μs *

až ms *

Atomové rozlišení

výpočetní
chemie

atomové rozlišení od uvedení kvantové teorie (1925)

- zpřesňuje modely
- zpřesňuje výpočetní postupy
- dosahuje přesnějších výsledků v kratším výpočetním čase

experiment

atomové rozlišení od zavedení X-ray krystalografie (1923)

- zpřesňuje techniky
- zpřesňuje rozlišení

Historický vývoj

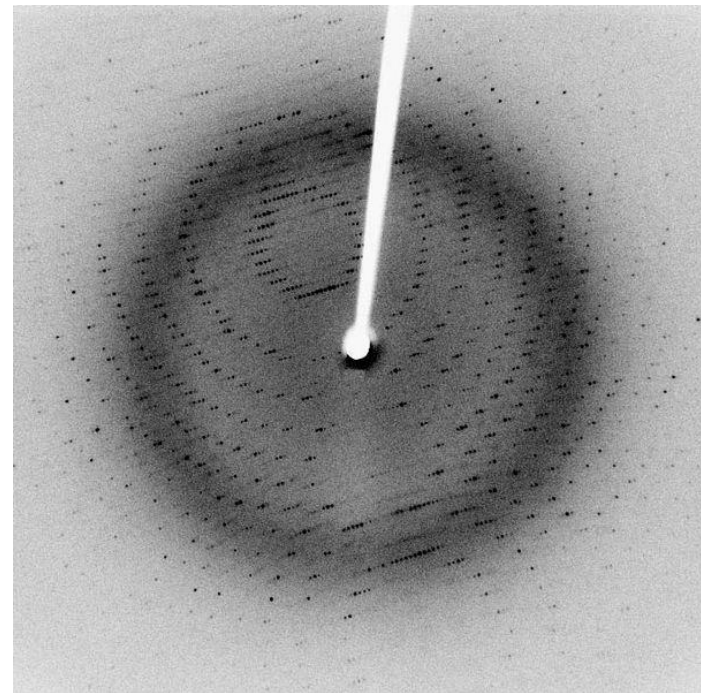
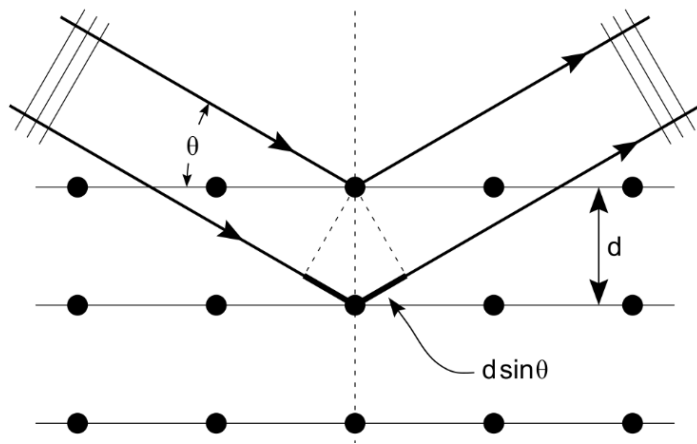
Experiments s jednomolekulárním rozlišením.

Anglicky: Single Molecule Experiments

Experimenty s atomovým rozlišením

X-ray krystalografie

Difrakce X-ray na krystalické struktuře



Braggova podmínka:

$$2d \sin \theta = n\lambda$$

Difrakční obrazec (krystal enzymu)

Rentgenové záření difrakuje na elektronech jednotlivých atomů.

Nevýhoda: vzorek musí být v krystalickém stavu
atomové rozlišení

<http://www.wikipedia.org>

X-ray krystalografie

Metoda určuje polohu jednotlivých atomů. V případě nízkého rozlišení nebo vnitřního neuspořádání v základní buňce krystalu mohou být **polohy některých atomů neurčeny**. Typicky se jedná o atomy vodíků (slabě difrakují), postranní řetěze v biomolekulách nebo v slabě vázaných substrátech.

Místo rentgenového záření lze použít i proud neutronů, mluvíme pak o **neutronové difrakci**. V tomto případě dochází k difrakci na jádrech jednotlivých atomů.

Přednášky:

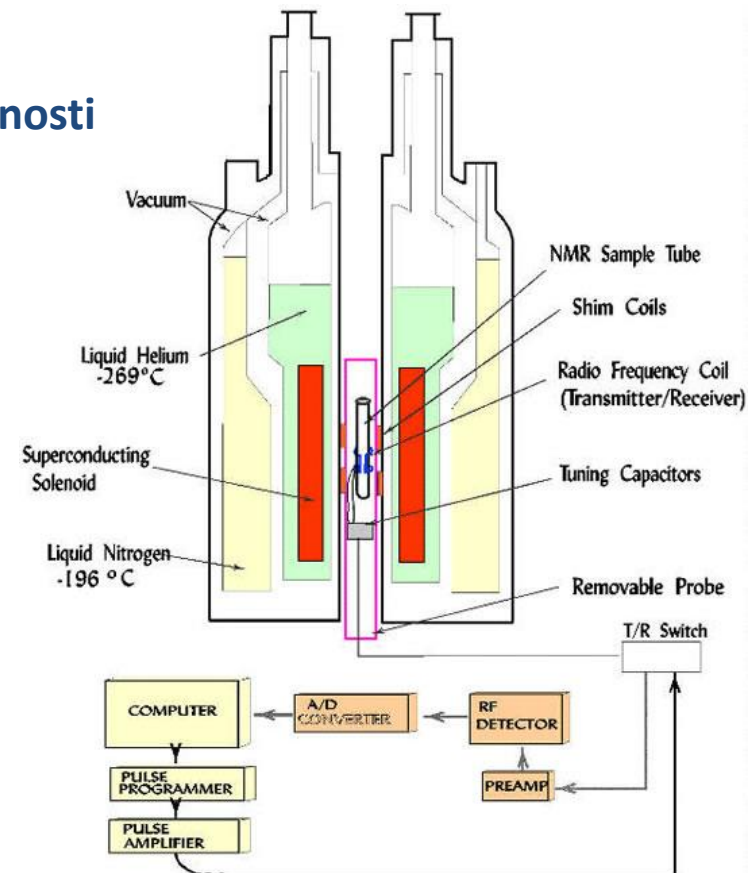
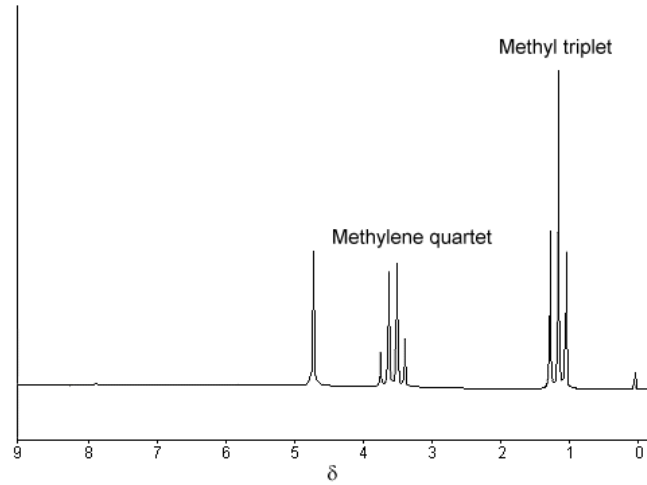
C8800 Rtg strukturní analýza

CB070 Proteinová krystalografie

CB080 Proteinová krystalografie - seminář

Nukleární magnetická rezonance

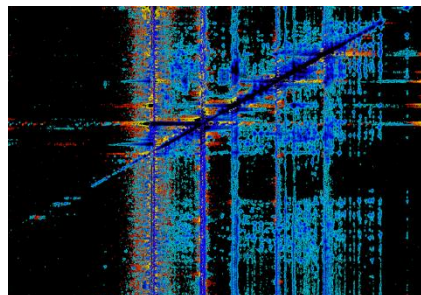
- chemický posun
- štěpení (J-coupling)
- NOE (Nuclear Overhauser Effect) – úměrný vzdálenosti
- a další



Výhoda: vzorek v roztoku

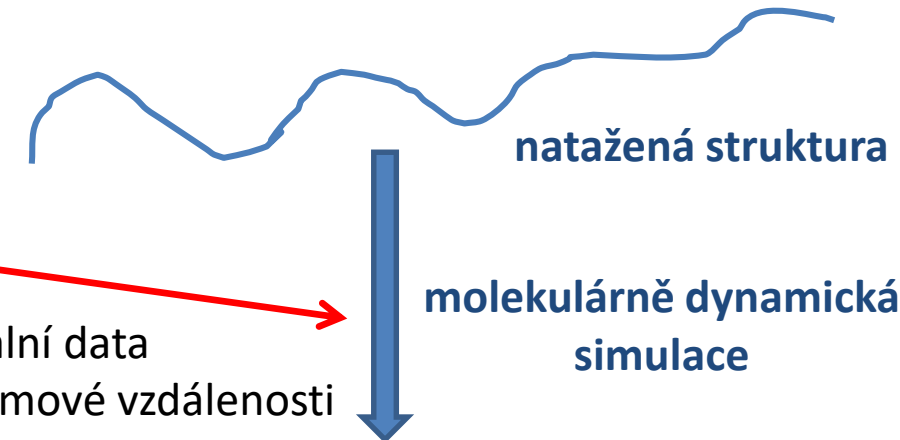
atomové rozlišení

Nukleární magnetická rezonance



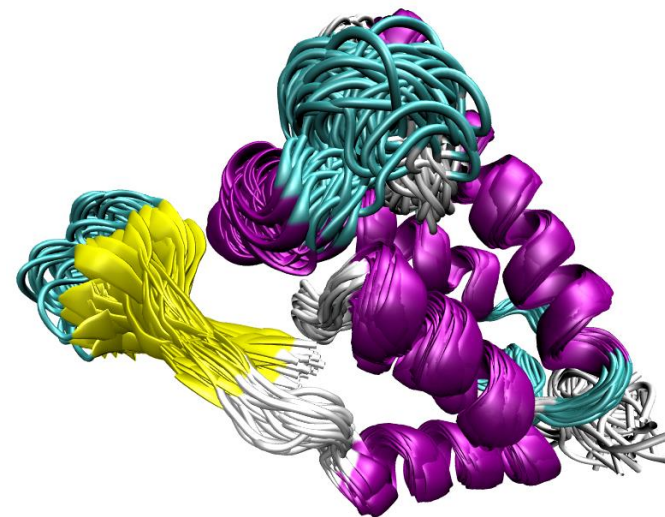
NMR spektra

experimentální data
např. některé meziatomové vzdálenosti



výsledná struktura je reprezentována několika konformacemi

struktura obsahuje atomy vodíku, jejichž poloha je však dána použitým modelem a ne experimentem



Macek, P.; Chmelík, J.; Křížová, I.; Kadeřávek, P.; Padrtá, P.; Žídek, L.; Wildová, M.; Hadravová, R.; Chaloupková, R.; Pichová, I.; et al. NMR Structure of the N-Terminal Domain of Capsid Protein from the Mason–Pfizer Monkey Virus. *Journal of Molecular Biology* **2009**, 392, 100–114.

Nukleární magnetická rezonance

Přednášky:

C9530 Strukturní biochemie

C5320 Fyzikálně chemické základy NMR

C8950 NMR - Strukturní analýza

C8953 NMR - Strukturní analýza – seminář

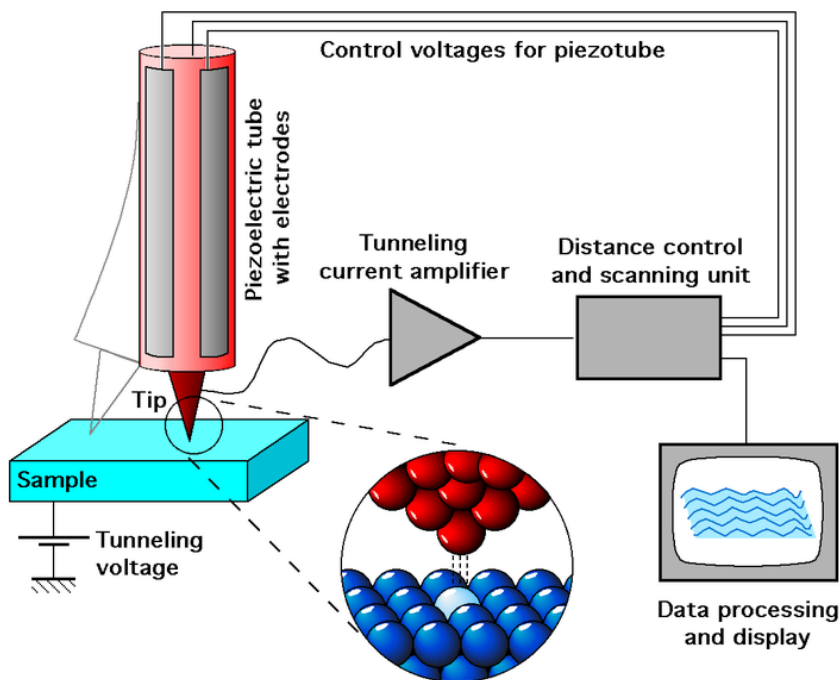
C9550 Kvantová chemie a molekulová spektroskopie

C6770 NMR Spectroscopy of Biomolecules

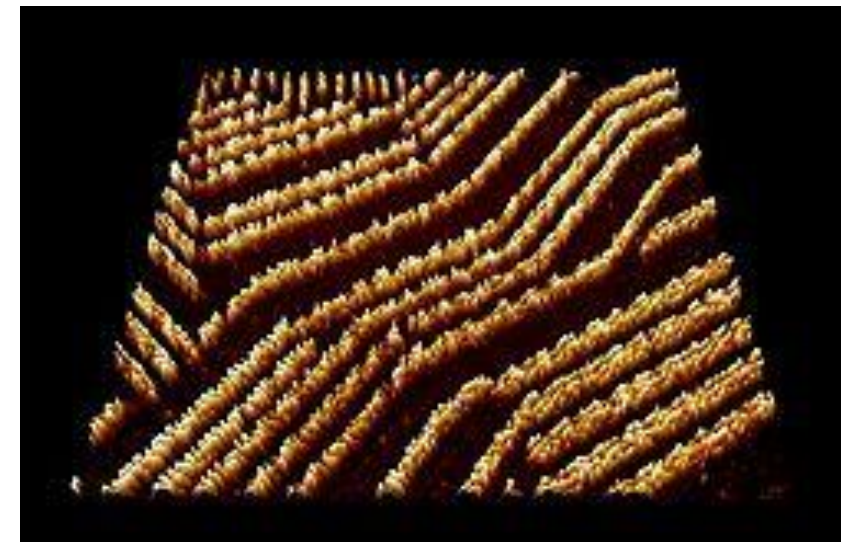
C7995 Advanced Methods of Biomolecular NMR

Řádkovací tunelová mikroskopie

Princip:



Výsledek:



Anglicky: Scanning Tunneling Microscope

<http://www.wikipedia.org>

Databáze exp. určených struktur

Cambridge Structural Database (CSD)

<http://www.ccdc.cam.ac.uk/Solutions/CSDSystem/Pages/CSD.aspx>

Obsahuje zhruba půl miliónu struktur malých molekul určených pomocí rentgenové a neutronové difrakce. Software pro práci s daty: Mercury
<http://www.ccdc.cam.ac.uk/Solutions/CSDSystem/Pages/Mercury.aspx>

Protein Data Bank (PDB)

<http://www.pdb.org>

Obsahuje zhruba 94 tisíc struktur biomolekulárních systémů uřčených převážně pomocí rentgenostrukturální analýzy.

Experimentální metoda	Proteiny (P)	Nucleové kyseliny (NA)	P/NA komplexy	Jiné	Celkově
X-ray	77445	1481	4069	3	82998
NMR	8851	1046	193	7	10097
elektronová mikroskopie	469	45	129	0	643

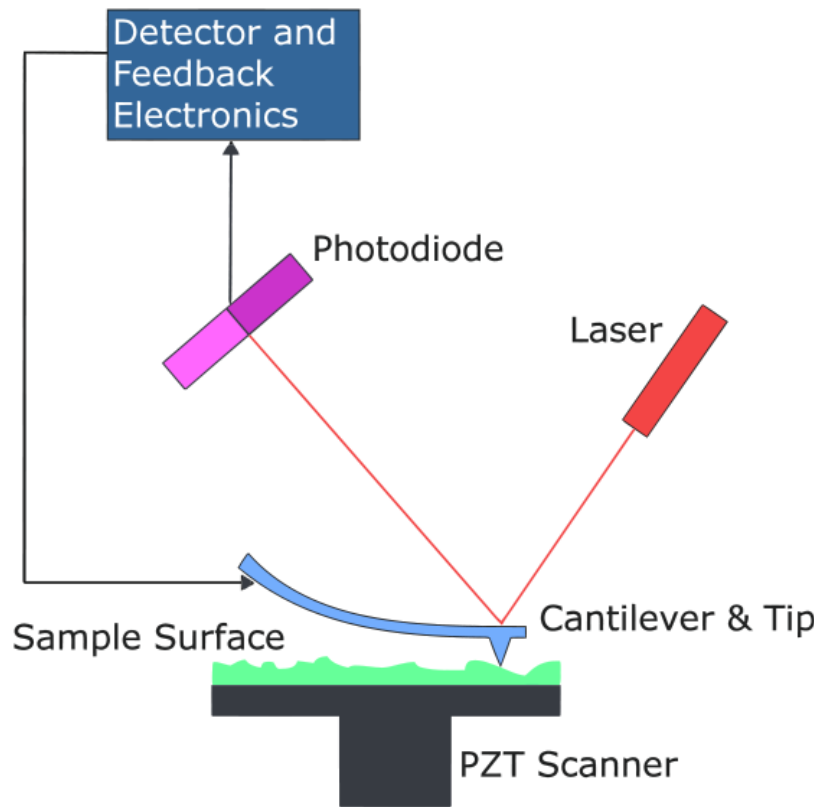
stav v září 2013

Experimenty s molekulárním rozlišením

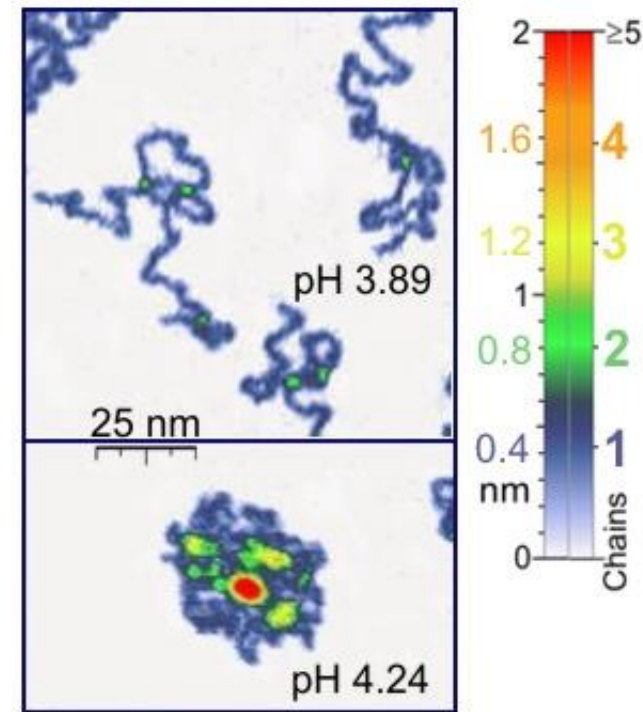
Anglicky: Single Molecule Experiments

Mikroskopie atomárních sil

Princip:



Výsledek:



<http://www.wikipedia.org>

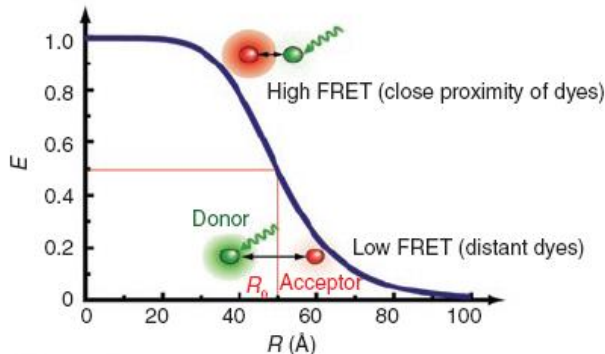
Anglicky: Atomic Force Microscopy (AFM)

doc. RNDr. Petr Skládal, CSc.; <http://biosensor.chemi.muni.cz/nanobio/>

FRET experimenty

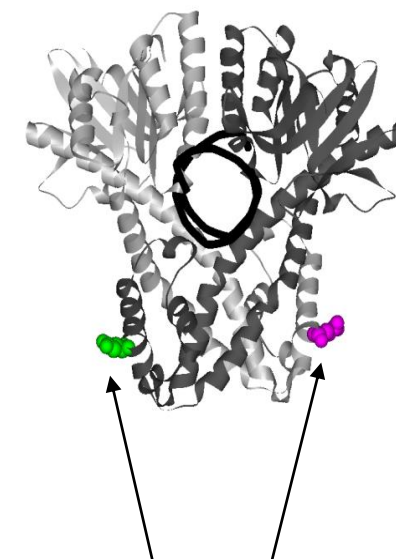
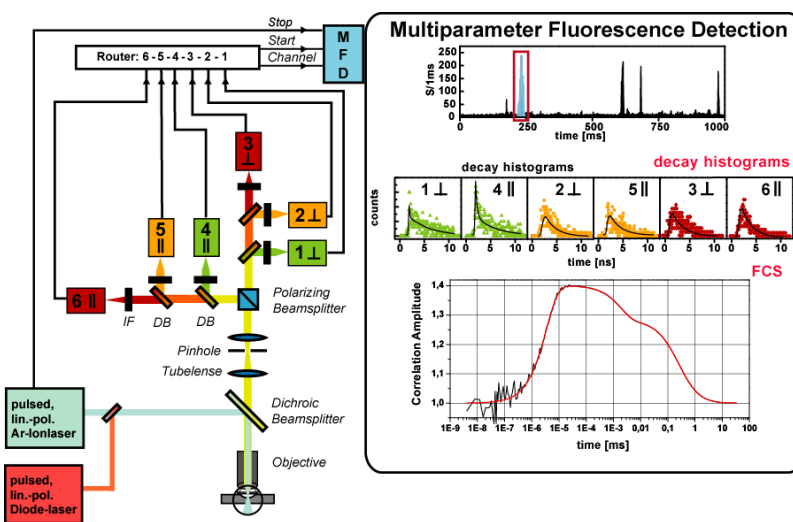
FRET: Fluorescenční resonanční přenos energie

Princip:



Výsledek:

$$E = \frac{1}{1 + (R/R_0)^6}$$

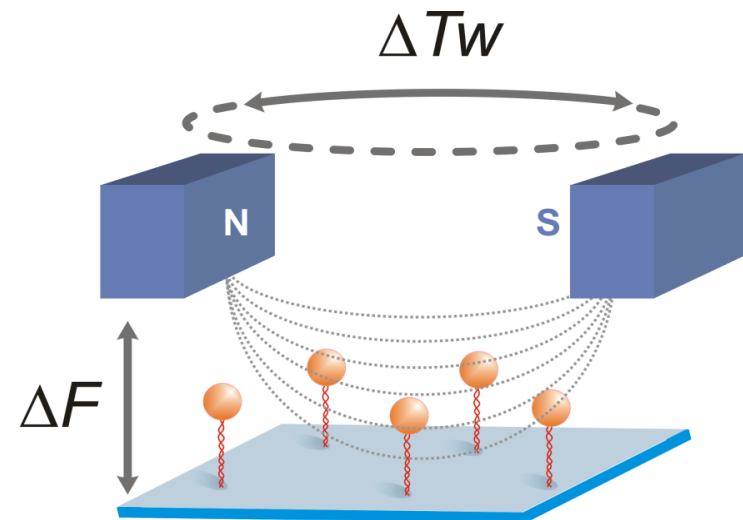
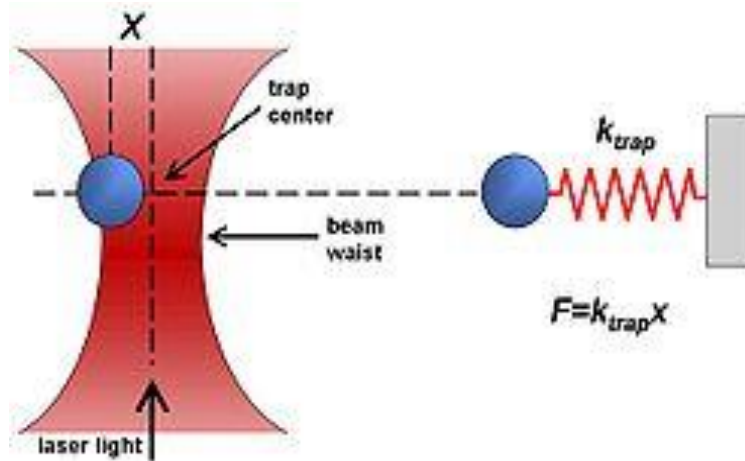


dva chromofory
můžeme určit vzdálenost

Anglicky: Fluorescence Resonance Energy Transfer

Magnetické a optické pinzety

Princip:

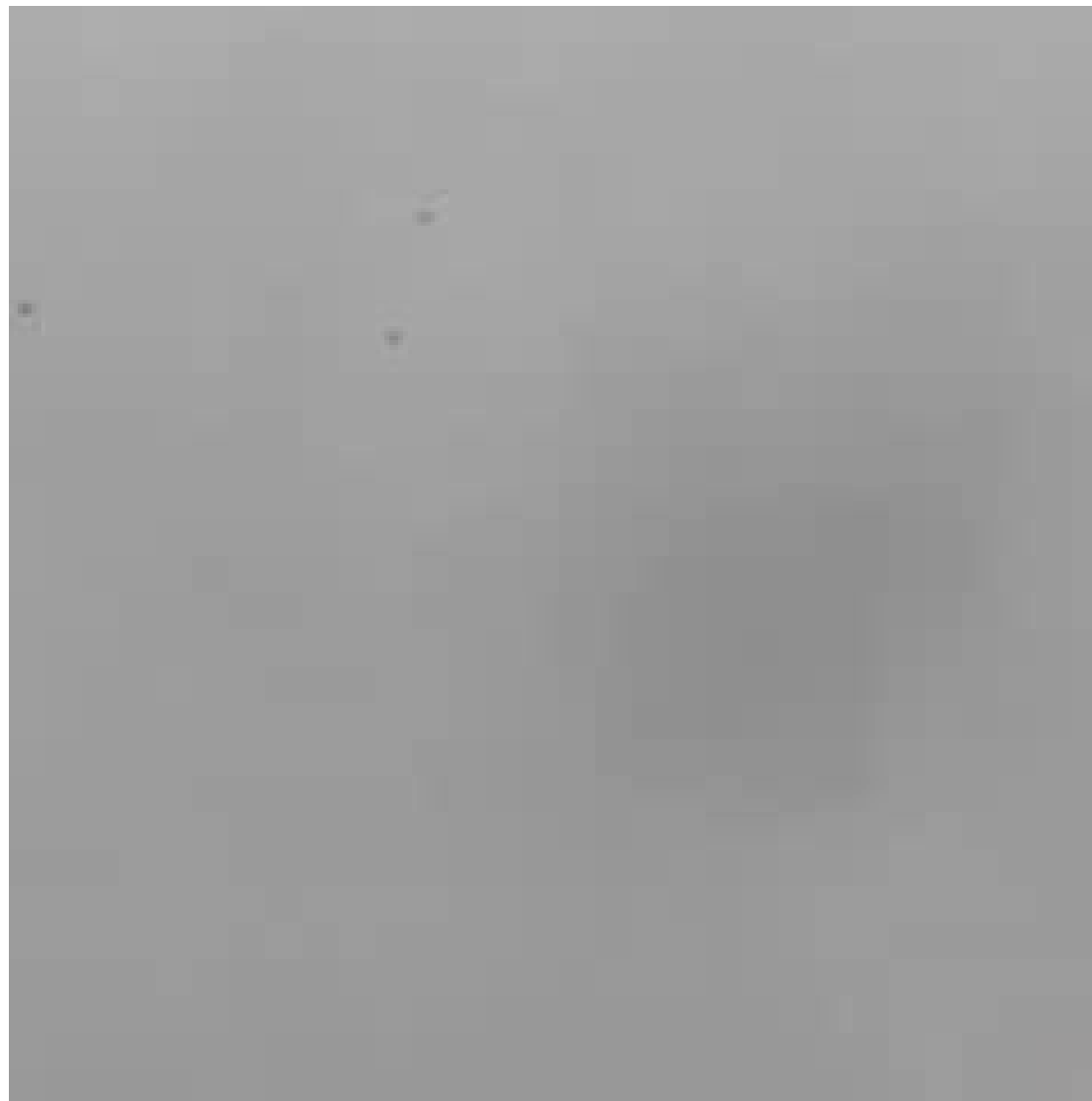


Anglicky:
Optical Tweezers
Magnetic Tweezers

<http://www.wikipedia.org>

Optické pinzety - použití

VU University, Amsterdam



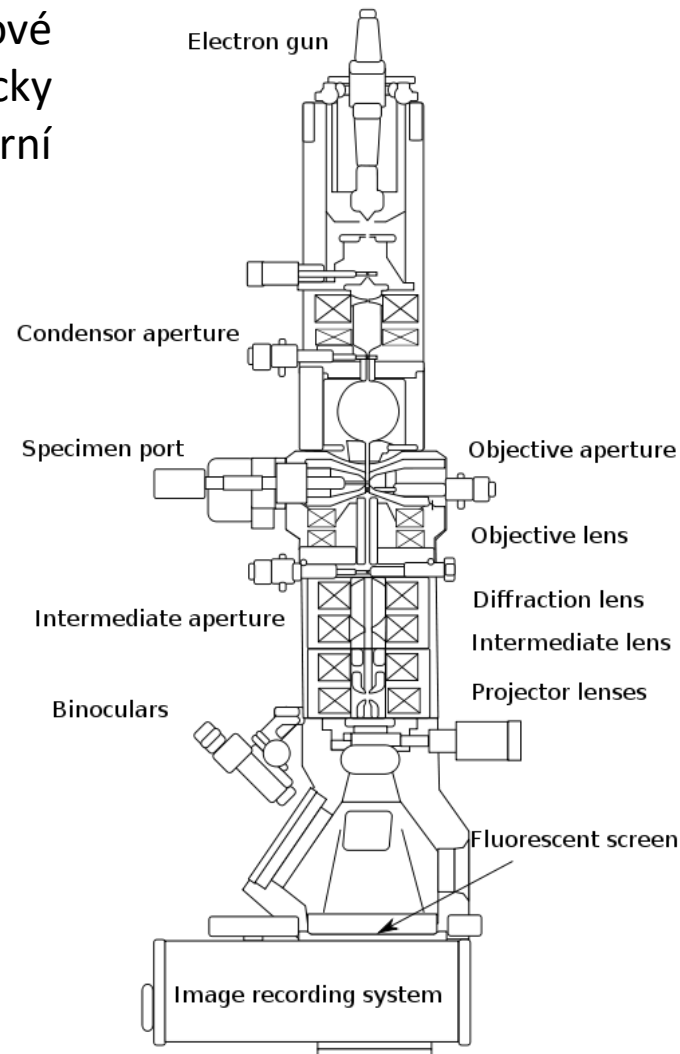
Elektronová kryomikroskopie - cryoEM

Elektronová mikroskopie je forma transmisní elektronové mikroskopie, kde je vzorek studován za nízké teploty (typicky teplota kapalného dusíku). Technika je využívána ve strukturní biologii.



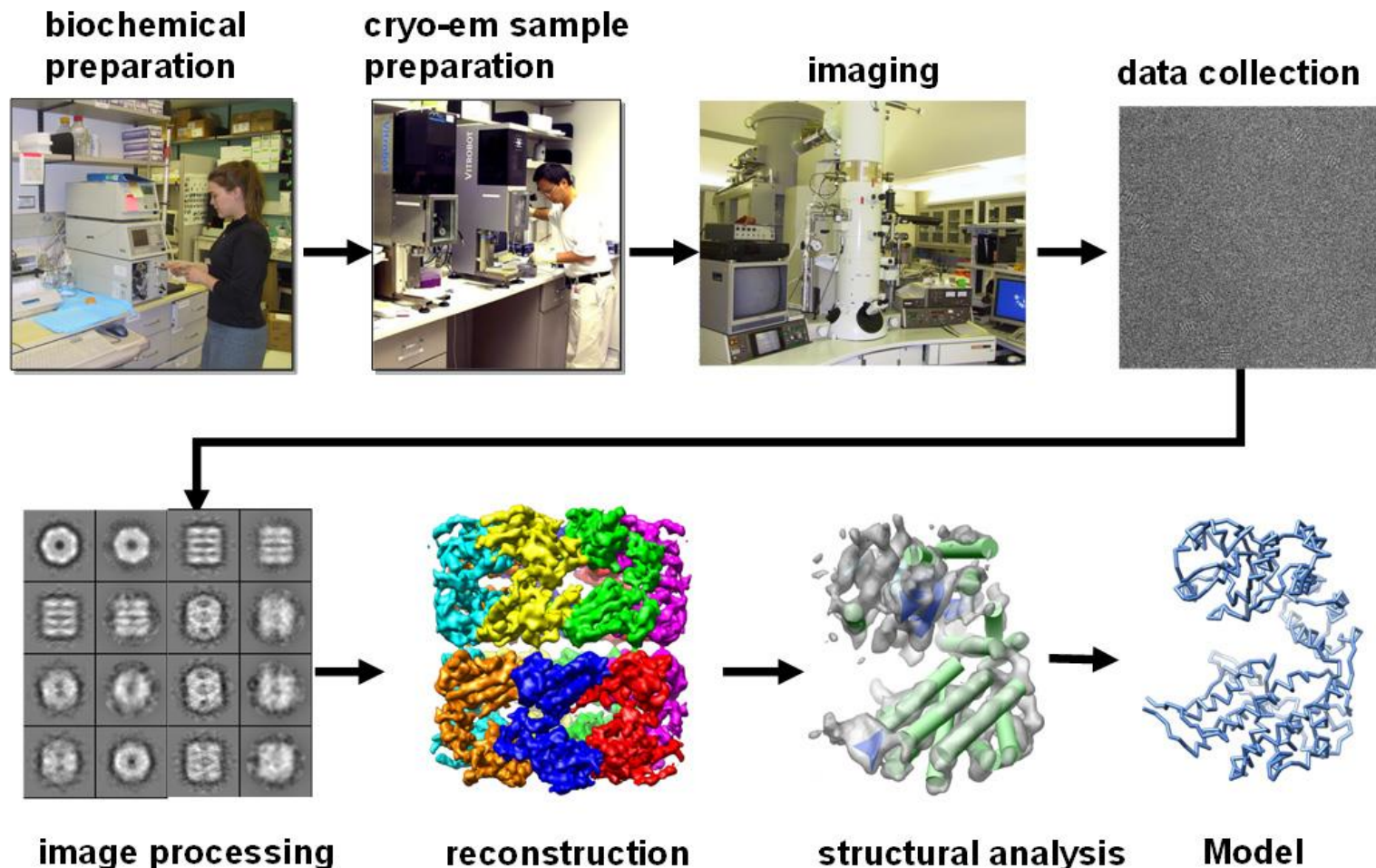
Urychlovací napětí: 300 kV

Pavilon A35/CEITEC



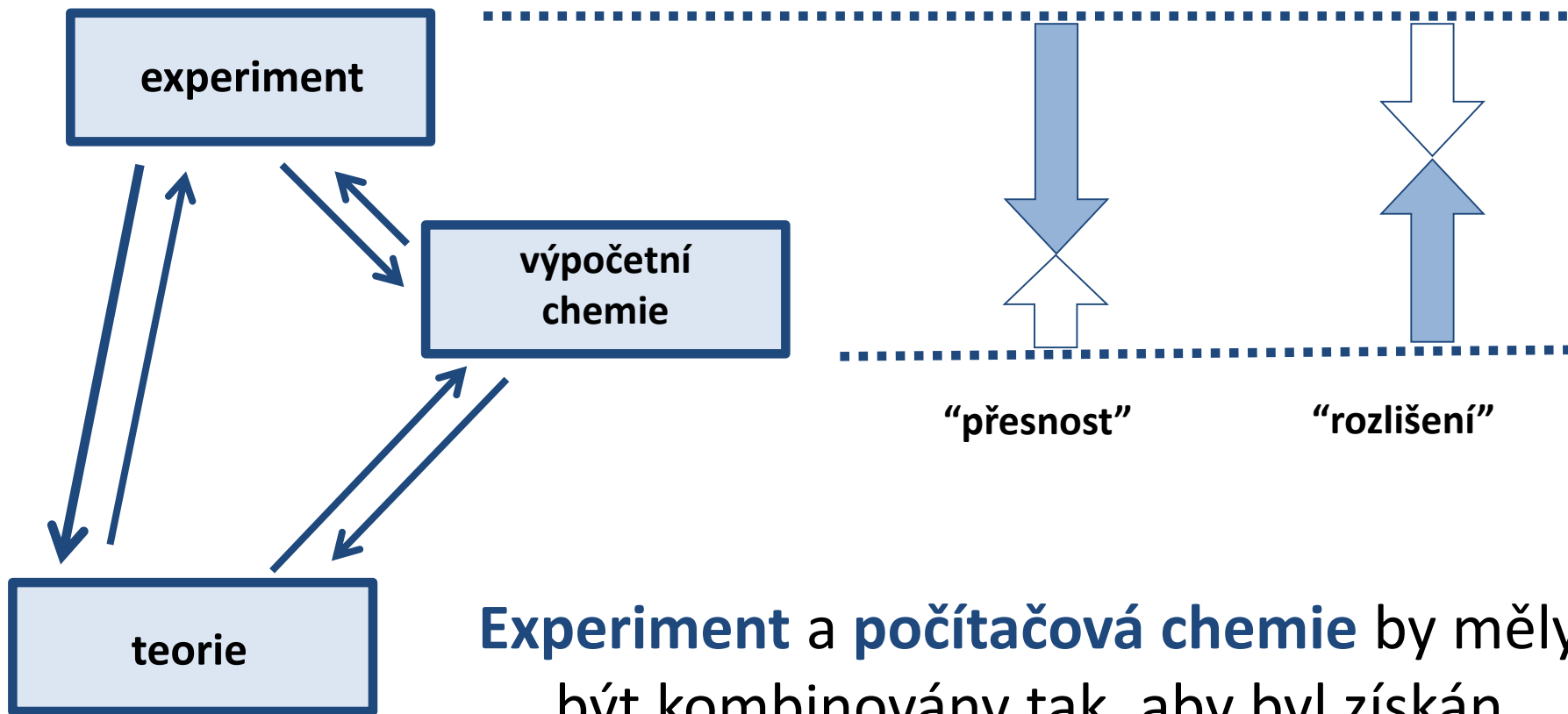
Elektronová kryomikroskopie - cryoEM

Pipeline in Biological Cryo-EM



<http://proj.ncku.edu.tw/research/commentary/e/20080919/2.html>

Shrnutí



Experiment a počítačová chemie by měly být kombinovány tak, aby byl získán **ucelený** a **konzistentní** pohled na studovaný systém.